



Profilé ZETAVOR

Profilés en acier

CARACTÉRISTIQUES MÉCANIQUES DE BASE

H [mm]	e [mm]	b _{sup} [mm]	c _{sup} [mm]	b _{inf} [mm]	c _{inf} [mm]	p [kg/m]	A [cm ²]	Y _G [mm]	I _y [cm ⁴]	I _z [cm ⁴]	W _y [cm ³]	I _t [cm ⁴]	I _w [cm ⁶]	RÉFÉRENCE
100	2	55	21	48	17	3,485	4,57	-2,9	73,22	33,36	14,08	,06	550,63	100 x 2
100	2,5	55	21	48	17	4,357	5,68	-2,9	90,13	40,55	17,33	,11	662,06	100 x 2,5
100	3	55	21	48	17	5,228	6,78	-2,9	106,35	47,23	20,44	,20	762,85	100 x 3
125	2	55	21	48	17	3,878	5,06	-2,6	123,08	33,40	18,98	,06	886,76	125 x 2
125	2,5	55	21	48	17	4,847	6,30	-2,6	151,89	40,60	23,42	,13	1 068,98	125 x 2,5
125	3	55	21	48	17	5,817	7,52	-2,6	179,67	47,29	27,70	,22	1 234,93	125 x 3
150	2	55	21	48	17	4,270	5,55	-2,4	188,74	33,43	24,32	,07	1 314,65	150 x 2
150	2,5	55	21	48	17	5,338	6,91	-2,4	233,32	40,64	30,05	,14	1 587,44	150 x 2,5
150	3	55	21	48	17	6,406	8,26	-2,4	276,47	47,35	35,61	,24	1 836,98	150 x 3
175	2	55	21	48	17	4,663	6,04	-2,2	271,73	33,46	30,07	,08	1 836,54	175 x 2
175	2,5	55	21	48	17	5,829	7,53	-2,2	336,34	40,67	37,22	,15	2 220,19	175 x 2,5
175	3	55	21	48	17	6,994	9,00	-2,2	399,07	47,39	44,15	,26	2 572,17	175 x 3
200	2	80	21	70	21	5,856	7,53	-2,4	469,12	93,10	45,73	,10	6 299,67	200 x 2
200	2,5	80	21	70	21	7,320	9,40	-2,4	582,22	114,19	56,76	,19	7 689,39	200 x 2,5
200	3	80	21	70	21	8,784	11,25	-2,4	692,70	134,25	67,52	,33	8 996,25	200 x 3
200	4	80	21	70	21	11,712	14,89	-2,4	905,90	171,40	88,29	,78	1 1372,06	200 x 4
225	2	80	21	70	21	6,249	8,02	-2,3	617,34	93,12	53,58	,10	8 169,15	225 x 2
225	2,5	80	21	70	21	7,811	10,01	-2,3	766,73	114,22	66,54	,20	9 978,30	225 x 2,5
225	3	80	21	70	21	9,373	11,99	-2,3	912,89	134,30	79,22	,35	11 682,43	225 x 3
225	4	80	21	70	21	12,497	15,88	-2,2	1 195,63	171,46	103,74	,83	14 788,61	225 x 4
250	2	80	21	70	21	6,641	8,51	-2,1	790,60	93,15	61,83	,11	10 305,58	250 x 2
250	2,5	80	21	70	21	8,301	10,63	-2,1	982,52	114,26	76,84	,21	12 594,74	250 x 2,5
250	3	80	21	70	21	9,962	12,73	-2,1	1 170,53	134,34	91,54	,37	14 753,77	250 x 3
250	4	80	21	70	21	13,282	16,87	-2,1	1 534,97	171,52	120,03	,88	18 697,06	250 x 4
275	2	80	21	70	21	7,034	9,00	-2,0	990,44	93,17	70,51	,12	12 711,91	275 x 2
275	2,5	80	21	70	21	8,792	11,24	-2,0	1 231,52	114,29	87,66	,23	15 542,27	275 x 2,5
275	3	80	21	70	21	10,550	13,47	-2,0	1 467,95	134,38	104,49	,39	18 214,44	275 x 3
275	4	80	21	70	21	14,067	17,86	-2,0	1 927,03	171,58	137,15	,93	23 102,65	275 x 4
300	2	80	21	70	21	7,426	9,49	-1,9	1 218,39	93,19	79,59	,12	15 390,42	300 x 2
300	2,5	80	21	70	21	9,283	11,86	-1,9	1 515,64	114,31	99,01	,24	18 823,70	300 x 2,5
300	3	80	21	70	21	11,139	14,21	-1,9	1 807,45	134,41	118,06	,41	22 067,70	300 x 3
300	4	80	21	70	21	14,852	18,85	-1,9	2 374,90	171,63	155,11	,99	28 009,48	300 x 4
325	2,5	80	21	70	21	9,773	12,47	-1,8	1 836,82	114,34	110,87	,25	22 441,24	325 x 2,5
325	3	80	21	70	21	11,728	14,95	-1,8	2 191,35	134,44	132,26	,44	26 316,13	325 x 3
325	4	80	21	70	21	15,637	19,84	-1,8	2 881,66	171,67	173,90	1,04	33 420,77	325 x 4
350	2,5	80	21	70	21	10,264	13,09	-1,7	2 196,97	114,36	123,24	,26	26 396,68	350 x 2,5
350	3	80	21	70	21	12,317	15,69	-1,7	2 621,96	134,47	147,07	,46	30 961,82	350 x 3
350	4	80	21	70	21	16,422	20,83	-1,7	3 450,42	171,72	193,53	1,09	39 339,12	350 x 4
375	2,5	80	21	70	21	10,755	13,70	-1,7	2 598,02	114,38	136,13	,28	30 691,47	375 x 2,5
375	3	80	21	70	21	12,905	16,43	-1,6	3 101,59	134,49	162,51	,48	36 006,44	375 x 3
375	4	80	21	70	21	17,207	21,82	-1,6	4 084,28	171,76	213,99	1,14	45 766,62	375 x 4
400	3	80	21	70	21	13,494	17,17	-1,6	3 632,55	134,52	178,57	,50	41 451,37	400 x 3
400	4	80	21	70	21	17,992	22,81	-1,6	4 786,31	171,80	235,27	1,19	52 704,97	400 x 4

- H Hauteur totale du profilé
- e Épaisseur du profilé
- b Largeur du bord
- c Largeur du rebord
- b Poids du profilé par mètre linéaire
- c Section brute du profilé
- P_G Position du centre de gravité, G, par rapport au point médian de l'âme
- A_y Moment d'inertie de la section brute par rapport à l'axe y-y principal
- y_y Module résistant de la section brute par rapport à l'axe y-y
- Z_z Moment d'inertie de la section brute par rapport à l'axe z-z principal
- i_z Module résistant de la section brute par rapport à l'axe z-z
- I_t Moment d'inertie en torsion de la section brute
- I_s Position du centre de contrainte de cisaillement, S, par rapport au point médian de l'âme
- I_s Position du centre de contrainte de cisaillement, S, par rapport au point médian de l'âme

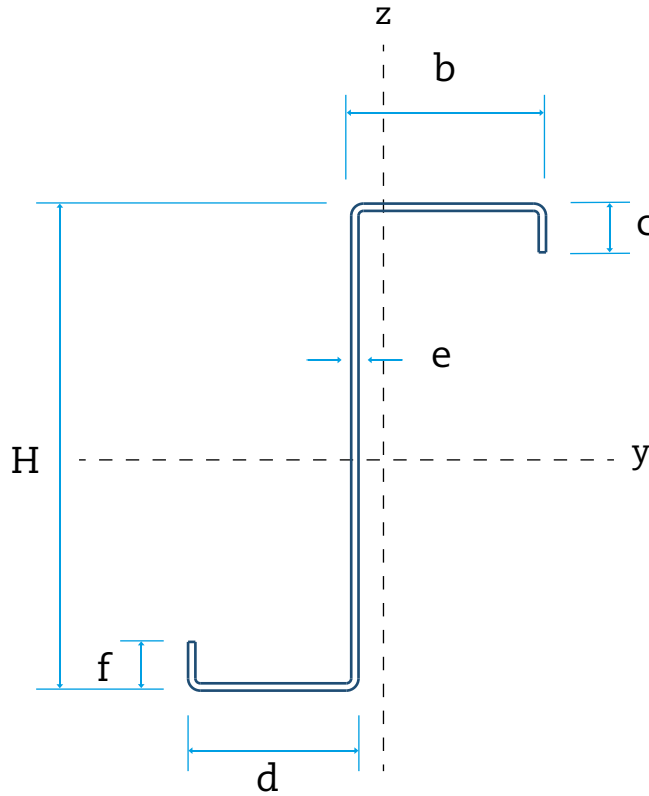
[mm²]
× 10² [mm⁴]
× 10⁴ [mm⁴]
× 10⁴ [mm³]
× 10³ [mm⁴]
× 10⁴ [mm⁶]
× 10⁶

Pour obtenir davantage de caractéristiques mécaniques efficaces, contactez BRAUSA.

Limite d'élasticité utilisée :
250 N/mm²

**CARACTÉRISTIQUES
DE L'EUROCODE**

RÉFÉRENCE	A _{eff.} [cm ²]	I _{eff.y} [cm ⁴]	W _{eff.y} [cm ³]
100 × 2	4,24	73,11	14,03
100 × 2,5	5,60	90,13	17,33
100 × 3	6,78	106,35	20,44
125 × 2	4,30	122,30	18,76
125 × 2,5	5,81	151,89	23,42
125 × 3	7,31	179,67	27,70
150 × 2	4,34	186,80	23,88
150 × 2,5	5,94	233,32	30,05
150 × 3	7,56	276,47	35,61
175 × 2	4,36	268,07	29,40
175 × 2,5	6,03	335,92	37,10
175 × 3	7,73	399,07	44,15
200 × 2	5,02	445,16	42,26
200 × 2,5	6,97	562,59	53,94
200 × 3	9,07	678,00	65,48
200 × 4	13,58	901,92	87,90
225 × 2	5,01	581,54	48,89
225 × 2,5	6,98	739,17	63,03
225 × 3	9,12	891,43	76,55
225 × 4	13,78	1187,93	102,98
250 × 2	5,00	729,75	54,40
250 × 2,5	6,99	945,39	72,60
250 × 3	9,15	1140,73	88,19
250 × 4	13,92	1521,89	118,75
275 × 2	4,98	896,28	59,90
275 × 2,5	6,99	1183,06	82,64
275 × 3	9,18	1428,13	100,42
275 × 4	14,03	1907,10	135,30
300 × 2	4,97	1081,39	65,41
300 × 2,5	6,98	1432,73	90,66
300 × 3	9,19	1755,83	113,22
300 × 4	14,12	2346,53	152,64
325 × 2,5	6,97	1706,38	98,43
325 × 3	9,20	2126,06	126,61
325 × 4	14,18	2843,20	170,76
350 × 2,5	6,97	2006,47	106,23
350 × 3	9,21	2521,73	138,63
350 × 4	14,24	3400,08	189,67
375 × 2,5	6,95	2333,35	114,04
375 × 3	9,21	2936,50	148,96
375 × 4	14,28	4020,19	209,37
400 × 3	9,21	3386,67	159,33
400 × 4	14,32	4706,55	229,87
	[mm ²]	[mm ⁴]	[mm ³]
	× 10 ²	× 10 ⁴	× 10 ³



Possibilités de fabrication
H : de 100 à 450 mm
e : de 1,5 à 4 mm
b standard : 55 ou 80 mm
d standard : 48 ou 70 mm

A_{eff.} Section efficace du profilé sous compression uniforme

I_{eff.y} Moment d'inertie de la section efficace sous pliage par rapport à l'axe y-y

W_{eff.y} Module résistant de la section efficace sous pliage par rapport à l'axe y-y